

## 微乳法制备无定形 NiO 及其电化学电容行为

段 浩<sup>1</sup> 刘开宇<sup>\*1</sup> 张 莹<sup>2</sup> 郑 禾<sup>1</sup> 李傲生<sup>1</sup>

(<sup>1</sup> 中南大学化学化工学院,长沙 410083)

(<sup>2</sup> 中南大学粉末冶金国家重点实验室,长沙 410083)

**摘要:**采用微乳法合成无定形  $\text{Ni(OH)}_2$  前驱体,经煅烧得到  $\text{NiO}$ ,通过 TEM、XRD、TG、DSC 对前驱体和产物的形貌、结构和性能进行表征。结果表明, $\text{NiO}$  仍为无定形结构。在煅烧温度低于 600 ℃时,晶体生长活化能为  $10.72 \text{ kJ} \cdot \text{mol}^{-1}$ ,且晶体生长以界面扩散为主。采用恒流充放电、循环伏安和电化学阻抗方法研究了 AC/NiO 混合电容器的电容行为。结果表明,在  $100 \text{ mA} \cdot \text{g}^{-1}$  电流密度下,其比电容、比功率和比能量分别为  $104.4 \text{ F} \cdot \text{g}^{-1}$ 、 $75 \text{ W} \cdot \text{kg}^{-1}$  和  $65.3 \text{ Wh} \cdot \text{kg}^{-1}$ ,200 次循环后容量保持率为 87.7%。在 0~1.5 V 电压范围内 AC/NiO 混合电容器具有良好的电容特性。

**关键词:**  $\text{NiO}$ ; 微乳法; 混合电容器; 电容性能

中图分类号: O614.81<sup>+3</sup> 文献标识码: A 文章编号: 1001-4861(2009)02-0243-06

## Preparation and Electrochemical Capacitance of Amorphous Nickel Oxide by Micro-emulsion

DUAN Hao<sup>1</sup> LIU Kai-Yu<sup>\*1</sup> ZHANG Ying<sup>2</sup> ZHENG He<sup>1</sup> LI Ao-Sheng<sup>1</sup>

(<sup>1</sup>College of Chemistry & Chemical Engineering, Central South University, Changsha 410083)

(<sup>2</sup>State Key Laboratory of Power Metallurgy, Central South University, Changsha 410083)

**Abstract:**  $\text{NiO}$  was obtained by annealing amorphous  $\text{Ni(OH)}_2$  precursor that synthesized by micro-emulsion. The morphology, structure and performance of the precursor and product were characterized by TEM, XRD, TG and DSC. The results showed that the morphology of  $\text{NiO}$  was also amorphous. The activation energy for nanocrystallite growth was  $10.72 \text{ kJ} \cdot \text{mol}^{-1}$  below 600 ℃, indicated that  $\text{NiO}$  grew primarily by means of interfacial reaction. The capacitance performances of AC/ $\text{NiO}$  hybrid capacitor were researched by galvanostatic charge/discharge, cyclic voltammeter and electrochemical impedance spectroscopy. The results indicated that the specific capacitance, power and energy of AC/ $\text{NiO}$  hybrid capacitor were  $104.4 \text{ F} \cdot \text{g}^{-1}$ ,  $75 \text{ W} \cdot \text{kg}^{-1}$  and  $65.3 \text{ Wh} \cdot \text{kg}^{-1}$  at the current density of  $100 \text{ mA} \cdot \text{g}^{-1}$  respectively. The capacity retention was 87.7% after 200 cycles. AC/ $\text{NiO}$  hybrid capacitor exhibited excellent capacitance performance with the potential range from 0 to 1.5 V.

**Key words:** nickel oxide; micro-emulsion; hybrid capacitor; capacitance performance

超级电容器是一种介于传统电容器和电池之间的新型储能元件,与传统电容器相比具有更高的比容量和能量密度,与电池相比具有更高的功率密度<sup>[1]</sup>。根据储能机理不同,超级电容器可以分为双电层电容器和赝电容器<sup>[2]</sup>。赝电容器的电极材料主要是

过渡金属氧化物,其中研究最为成功的是  $\text{RuO}_2$ ,但是  $\text{Ru}$  昂贵的价格限制了其产业化。尽管将其与  $\text{CoS}$  纳米球<sup>[3]</sup>和碳纤维<sup>[4]</sup>复合来降低成本,并且比容量也分别达到了 508 和  $1\,017 \text{ F} \cdot \text{g}^{-1}$ ,但是仍然不能掩饰  $\text{RuO}_2$  在电极材料方面的成本劣势。目前国内外研究

收稿日期:2008-08-25。收修改稿日期:2008-11-07。

国家自然科学基金(No.20376086)和湖南省科技计划重点项目(No.2008GK2008)资助。

\*通讯联系人。E-mail:kaiyuliu@263.net

第一作者:段 浩,男,24岁,在读硕士;研究方向:电池材料。

者正积极寻找廉价氧化物及其它化合物来替代 RuO<sub>2</sub>, 其中研究最多的为 NiO<sup>[5]</sup>、MnO<sub>2</sub><sup>[6,7]</sup>。NiO 由于具有理论容量大(在 0.5 V 的电化学窗口下为 2584 F·g<sup>-1</sup><sup>[8]</sup>)的优点而成为了电极材料的研究重点。

NiO 的制备方法以及形貌的不同, 电容性能也有很大差异。Liu 等<sup>[9]</sup>采用水热法制备海胆状 NiO, 比电容达到 290 F·g<sup>-1</sup>, 而 Wu 等<sup>[10]</sup>采用共沉淀法制备片状 NiO 的比容量仅有 108 F·g<sup>-1</sup>。另外, 由金属氧化物和活性炭(AC)组成的混合电容器具有电压范围宽、能量密度高的优点而成为了电容器的研究方向<sup>[11,12]</sup>。Yuan 等<sup>[13]</sup>以 PVA-KOH-H<sub>2</sub>O 为碱性凝胶聚合物电解质, 讨论了温度对 AC/NiO 混合电容器电化学性能的影响, 发现 40 °C 时比电容最高为 73.4 F·g<sup>-1</sup>。

尽管 NiO 的制备方法很多<sup>[14,15]</sup>, 但是采用微乳法制备 NiO, 并用于混合电容器的研究很少。Han 等<sup>[16]</sup>采用微乳法制备了 NiO, 并且考察了热处理温度对 NiO 颗粒形貌、粒径分布影响, 但是没有研究其作为混合电容器的电容行为。本文采用 TX-100/正己醇/正庚烷/水微乳体系合成了 Ni(OH)<sub>2</sub> 前驱体, 在不同温度下煅烧得到 NiO, 同时研究了 AC/NiO 混合电容器的电容行为以及 NiO 的形貌、结构对电化学性能的影响。

## 1 实验部分

### 1.1 材料的制备

将 TX-100、正己醇、正庚烷、Ni(NO<sub>3</sub>)<sub>2</sub>(0.5 mol·L<sup>-1</sup>) 按照体积比 18:12:20:5 在 35 °C 下搅拌 30 min, 使微乳液混合均匀; 另外, 配制含有相同体积 NaOH(1.0 mol·L<sup>-1</sup>) 的微乳液, 在相同条件下将 2 个微乳液混合, 然后继续反应 2 h。反应完毕后对溶液进行离心、超声洗涤, 依次用去离子水、乙醇洗涤 3 次后, 在 60 °C 真空干燥 3 h, 得到 Ni(OH)<sub>2</sub> 前驱体。取适量上述 Ni(OH)<sub>2</sub> 前驱体于管式电阻炉中, 以 3 °C·min<sup>-1</sup> 的升温速度升至一定温度, 保温 4 h 后再以相同的速度降至室温, 取出并于玛瑙研钵中研磨 30 min 后得到所需要的 NiO。

### 1.2 材料的物相表征

采用日本理学 D/max 2550 的 X 射线衍射仪(Cu K $\alpha$  针,  $\lambda=0.154\ 056\ \text{nm}$ , 40 kV, 300 mA, 扫描范围为 10°~80°, 扫描速度为 4°·min<sup>-1</sup>)对样品进行物相表征。采用瑞士 METTLER TOLEDO TGA/SDTA 851<sup>e</sup> 型热分析仪(升温速度 3 °C·min<sup>-1</sup>)对前驱体进行热重、差热测试。采用 FEI Tecnai G<sup>2</sup> 20 ST 型透

射电镜(管电压 200 kV)对样品进行形貌表征。

### 1.3 电极的制备

将活性物质(NiO 或 AC)、乙炔黑、PTFE(5wt%)按质量比 85:10:5 均匀混合, 以泡沫镍为集流体, 采用辊压法将其压成 1.0×1.0 cm<sup>2</sup> 的电极, 并于 120 °C 下干燥至恒重。

### 1.4 电化学性能测试

电化学阻抗测试采用三电极体系, NiO 电极为工作电极, Hg/HgO (6 mol·L<sup>-1</sup> KOH) 电极为参比电极, 铂片为辅助电极, 频率范围为 10 mHz~100 kHz, 振幅为 5 mV。循环伏安测试采用 2 电极体系, NiO 为工作电极, AC 电极为参比和辅助电极, 扫描范围为 0~1.5 V, 扫描速度为 5~25 mV·s<sup>-1</sup>。恒流充放电测试也采用两电极体系, NiO(或 AC) 电极为正极, AC 电极为负极。其中两电极体系均为未使用隔膜的模拟电容器。采用 PARSTAT 2273 电化学工作站对体系进行电化学阻抗和循环伏安测试; 采用 CT2001A 电池测试系统对 AC/AC、AC/NiO 电容器进行恒流充放电测试。所有测试均在室温 6 mol·L<sup>-1</sup> KOH 溶液中进行。

## 2 结果与讨论

### 2.1 材料的物理表征

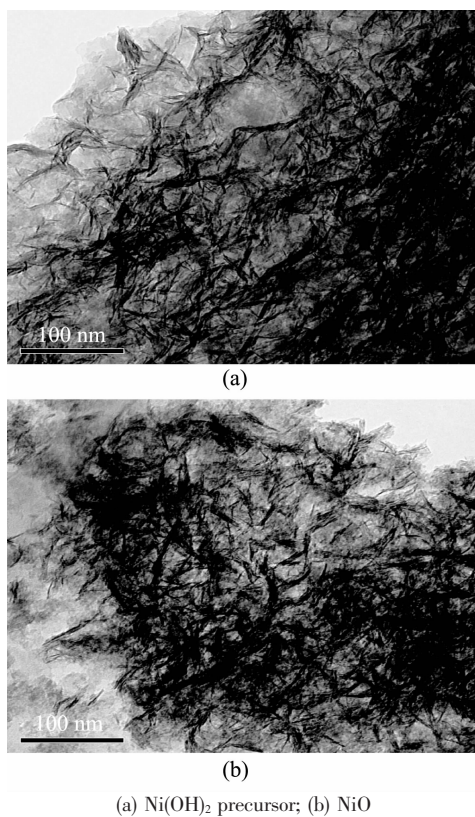
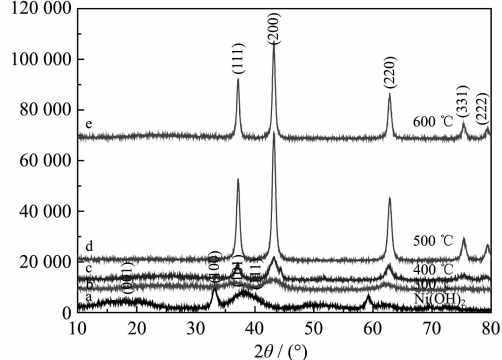
#### 2.1.1 材料的形貌分析

图 1 为 Ni(OH)<sub>2</sub> 前驱体和 300 °C 下煅烧后 NiO 的 TEM 图。由图 1a 可见, 微乳法制备的 Ni(OH)<sub>2</sub> 前驱体为无定形结构, 经 300 °C 煅烧之后, NiO(图 1b) 的结构基本没有变化, 仍为无定形结构。

#### 2.1.2 材料的 XRD 分析

图 2 为微乳法得到的 Ni(OH)<sub>2</sub> 前驱体和 300、400、500、600 °C 煅烧处理得到的 NiO 的 XRD 谱图。由图 2a 中衍射峰的位置和强度可知, 前驱体为六方  $\beta$  型 Ni(OH)<sub>2</sub>(PDF 卡片 No.01-1047, 晶胞参数  $a=0.313\ 7\ \text{nm}$ ,  $c=0.467\ 9\ \text{nm}$ ), 且衍射峰强度较弱, 半峰宽较宽, 部分衍射峰(例如(001)、(102))不明显, 说明 Ni(OH)<sub>2</sub> 前驱体为无定形结构。由图 2 中 NiO 的衍射峰的位置可知, NiO 为立方结构(PDF 卡片 No.22-1189)。300 °C 煅烧之后 Ni(OH)<sub>2</sub> 前驱体的衍射峰消失, 说明 Ni(OH)<sub>2</sub> 前驱体已全部转变为 NiO, 但是衍射峰强度不强, 由图 1b 的结果可知, 此时 NiO 仍为无定形结构。

当煅烧温度较低时, NiO 处于分散状态, 晶格缺陷较多, 粒径较小。随着煅烧温度的升高, NiO 衍射

(a)  $\text{Ni}(\text{OH})_2$  precursor; (b) NiO图1  $\text{Ni}(\text{OH})_2$  前驱体和NiO的TEM图Fig.1 TEM images of  $\text{Ni}(\text{OH})_2$  precursor and NiO图2  $\text{Ni}(\text{OH})_2$  前驱体和NiO的XRD谱图Fig.2 XRD patterns of  $\text{Ni}(\text{OH})_2$  precursor and NiO

峰的半峰宽逐渐减小,说明颗粒不断凝结生长。根据 Scherrer 公式:

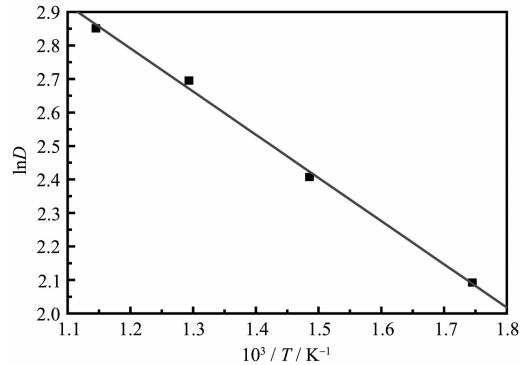
$$D = \frac{0.94\lambda}{B \cos\theta} \quad (1)$$

式中, $D$  为晶粒大小(nm); $\lambda$  为衍射峰波长(nm); $B$  为半峰宽,  $\theta$  为衍射角。半峰宽越小, 晶体粒径越大。通过(111)晶面衍射峰的半峰宽计算可知, 300、400、500 和 600 °C 煅烧处理得到的 NiO 的平均粒径分别为 8.1、11.1、14.8 和 17.3 nm, 说明 NiO 的粒径尺寸容易受到煅烧温度的影响。

图3为不同煅烧温度下得到的 NiO 的  $\ln D$  与  $1/T$  的关系曲线。Yang 等<sup>[17]</sup>认为纳米颗粒在煅烧过程中晶体生长的活化能可以由下式表示:

$$D = C \exp\left(-\frac{E}{RT}\right) \quad (2)$$

式中, $D$  为由 Scherrer 公式得到的平均粒径(nm), $C$  为常数, $E$  为晶体生长的活化能( $\text{J} \cdot \text{mol}^{-1}$ ), $R$  为气体常数( $\text{J} \cdot \text{mol}^{-1} \cdot \text{K}^{-1}$ ), $T$  为绝对温度(K)。

图3  $\ln D$  与  $1/T$  的关系曲线Fig.3 Plot of  $\ln D$  against  $1/T$ 

由图可见, 在煅烧温度低于 600 °C 时,  $\ln D$  与  $1/T$  呈现良好的线性关系, 通过计算得到 NiO 的生长活化能为  $10.72 \text{ kJ} \cdot \text{mol}^{-1}$ , 远低于 Lai 等<sup>[18]</sup>报道的实验结果( $23.2 \text{ kJ} \cdot \text{mol}^{-1}$ )。这说明得到的 NiO 的表面活性较高, 煅烧过程中晶体生长主要以界面扩散为主, 容易生成无定形结构。研究表明<sup>[19]</sup>, 由于无定形结构在和电解液接触过程中,  $\text{H}^+$  或  $\text{OH}^-$  容易在材料表面和体相内部发生反应, 因此比晶态结构更适用于电容器材料。

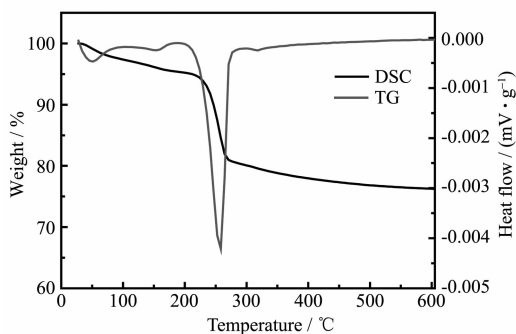
### 2.1.3 材料的热分析

图4为微乳法合成的  $\text{Ni}(\text{OH})_2$  前驱体的 TG 和 DSC 曲线。由图可见, TG 曲线可分为 3 部分: 前 2 部分为  $25\sim200$  °C 的过程, 可以归因于  $\text{Ni}(\text{OH})_2$  前驱体中的吸附水以及残余表面活性剂的失去, 此区间的重量损失约为 4.63%; 第 3 部分出现在  $200\sim600$  °C, 可以归因为  $\text{Ni}(\text{OH})_2$  分解成 NiO, 反应式可表示为:



与  $\text{Ni}(\text{OH})_2$  前驱体的理论失水重量 19.42% 相比, 该过程的失水重量较理论值偏大, 约为 19.65%。这可能由于微乳法制备的  $\text{Ni}(\text{OH})_2$  前驱体为无定形结构, 晶格畸变导致晶面之间嵌入了部分的水分子, 使得前驱体的含水量较高<sup>[20]</sup>。

与 TG 曲线对应, DSC 曲线上呈现 3 个吸热峰, 前 2 个较弱的峰在 51、154 °C 附近, 对应着体系失

图 4  $\text{Ni}(\text{OH})_2$  前驱体的 TG 和 DSC 曲线Fig.4 TG and DSC curves of  $\text{Ni}(\text{OH})_2$  precursor

水和表面活性剂的挥发;而第 3 个强且尖锐的峰出现在 258 °C 左右,对应着  $\text{Ni}(\text{OH})_2$  前驱体分解。一般认为, $\text{Ni}(\text{OH})_2$  前驱体的热分解温度越低,表明其分子中粒子间的作用力越弱,产物的活性越高。

## 2.2 电化学性能表征

### 2.2.1 恒流充放电测试

图 5 为煅烧温度对 AC/NiO 电容器比电容的影响曲线,其中,正负极质量比为 1:1,放电电流密度为 100  $\text{mA}\cdot\text{g}^{-1}$ 。由图可见,当煅烧温度为 300 °C 时,AC/NiO 电容器的比电容达到最大值 104.4  $\text{F}\cdot\text{g}^{-1}$ 。随着煅烧温度的增加,AC/NiO 电容器的比电容逐渐减小,在 600 °C 时仅为 10.8  $\text{F}\cdot\text{g}^{-1}$ 。这是由于 AC/NiO 电容器的电容主要来自于 NiO 电极,而 NiO 电极的电容则由大部分的赝电容和少量的双电层电容组成。其中,形成赝电容的反应由下式表示:



当煅烧温度较低时,NiO 的粒径较小,其无定形结构为 NiO 和  $\text{OH}^-$  的反应提供了较多的晶格缺陷,反应速度较快,因此赝电容较高;随着煅烧温度的增加,NiO 的粒径尺寸增大,使得晶格缺陷减少,利用率降低,从而导致 AC/NiO 电容器的比电容减小。

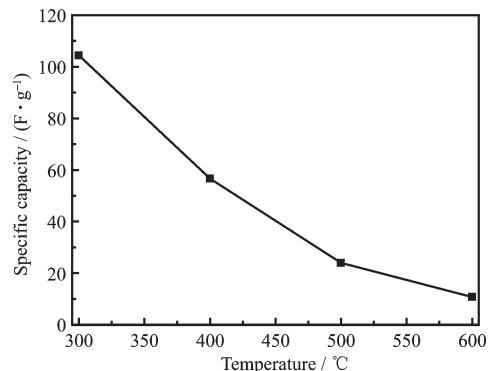


图 5 煅烧温度对 AC/NiO 电容器比电容的影响

Fig.5 Effect of annealing temperature on the specific capacity of AC/NiO capacitor

图 6 为 AC/AC 和 AC/NiO 电容器比电容与电流密度的关系曲线。由图可见,AC/AC 和 AC/NiO 电容器的比电容随电流密度的增大逐渐减小。与 AC/AC 电容器相比,AC/NiO 电容器的比电容随电流密度的增大衰减较快。当电流密度由 100  $\text{mA}\cdot\text{g}^{-1}$  增大到 200  $\text{mA}\cdot\text{g}^{-1}$  时,其比电容从 104.4  $\text{F}\cdot\text{g}^{-1}$  衰减到 84.7  $\text{F}\cdot\text{g}^{-1}$ 。之后比电容随电流密度的增大,衰减速度减缓,当电流密度为 1 000  $\text{mA}\cdot\text{g}^{-1}$  时比电容仅为 51.1  $\text{F}\cdot\text{g}^{-1}$ ,但是其比电容仍远远高于 AC/AC 电容器。对于 AC/AC 电容器,当电流密度由 100  $\text{mA}\cdot\text{g}^{-1}$  增大到 1 000  $\text{mA}\cdot\text{g}^{-1}$  时,比电容由 47.9  $\text{F}\cdot\text{g}^{-1}$  衰减到 40.0  $\text{F}\cdot\text{g}^{-1}$ ,仅衰减 16.5%。这是由于,AC/NiO 电容器的比电容很大程度上依赖 NiO 与 NiOOH 之间的氧化还原反应。电流密度增大,NiO 电极来不及与  $\text{OH}^-$  发生快速的电化学反应,使得 NiO 电极的极化程度增大,比电容减小。而 AC/AC 电容器的比电容主要依靠离子在电极材料空隙之间的嵌入/脱出,其反应如式(5)所示:



式中, $\text{E}_s$  表示电极表面,// 表示双电层。由于没有涉及电化学反应,所以电流密度增大时,电极响应较快,比电容减少缓慢。但是,无定形 NiO 参与反应产生的赝电容,使得 AC/NiO 较 AC/AC 电容器整体比电容高。

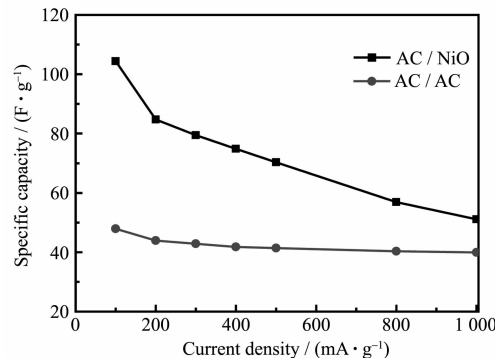


图 6 AC/AC 和 AC/NiO 电容器比电容和电流密度的关系

Fig.6 Relationship between the current density and the specific capacity of the AC/AC and AC/NiO capacitor

电容器的比功率和比能量可由以下两式求得:

$$P = \frac{1000 \Delta V I}{m} \quad (6)$$

$$E = \frac{\Delta V I \Delta t}{3.6 m} \quad (7)$$

式中, $\Delta V$  为电压范围(V), $I$  为电流(A), $m$  为正负极

活性物质质量之和(g), $\Delta t$ 为放电时间(s)。由上述两式求得的AC/AC和AC/NiO电容器比功率和比能量的关系曲线如图7所示。由图可见,AC/NiO和AC/AC电容器的比能量均随着比功率的增大而减小,但是前者比后者拥有更好的功率和能量性能。由于电流密度增大时,AC/NiO电容器的容量随之下降,并且放电时初始电压降增大,使得储存和放出的能量降低。在比功率为75 W·kg<sup>-1</sup>时,AC/NiO电容器的比能量有65.3 Wh·kg<sup>-1</sup>,而AC/AC电容器仅为其30.1%(19.71 Wh·kg<sup>-1</sup>)。即使在比功率为750 W·kg<sup>-1</sup>时,AC/AC电容器的比能量也仅为AC/NiO电容器的51.6%,功率和能量性能远低于AC/NiO电容器。这可能一方面是由于AC/NiO电容器的电位窗口(0~1.5 V)比AC/AC电容器(0~1.0 V)大,另一方面是由于NiO比AC的比电容高,由式(6,7)可知,在相同的条件下,前者即可拥有几倍于后者的比功率和比能量。

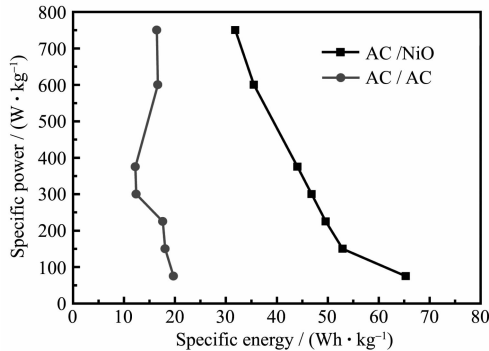


图7 AC/AC和AC/NiO电容器的Ragone图

Fig.7 Ragone plot of the AC/AC and AC/NiO capacitor

### 2.2.2 循环伏安测试

图8为AC/NiO电容器在0~1.5 V电压范围内不同扫速(5~25 mV·s<sup>-1</sup>)的循环伏安图。由图可见,循环伏安曲线没有呈现规则的矩形特征,且高电位范围内曲线所围成的面积明显增大,表明AC/NiO电容器产生的电容主要为NiO的赝电容。AC/NiO电容器在循环伏安过程中所发生的反应如式(4,5)所示。随着扫描速度的增加,在0.9~1.4 V之间的氧化还原峰电流增大,这是由于无定形NiO电极表面的晶格缺陷有利于OH<sup>-</sup>的嵌入/脱出,使之发生快速的氧化还原反应。

但是,0.9~1.2 V之间的还原峰随扫描速度的增大而逐渐滞后,这是由于扫描速度低时,电极表面的极化作用对NiO电极的影响较小,NiO/NiOOH的利用率高,能够发生较为完全的氧化还原反应;而

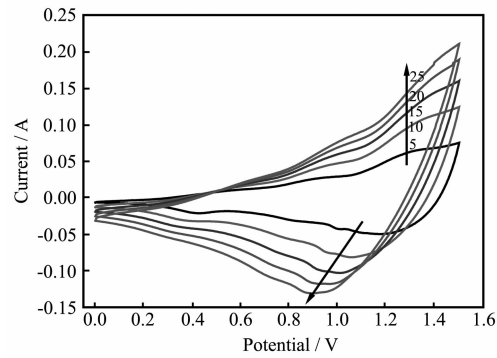


图8 AC/NiO电容器不同扫速的循环伏安图

Fig.8 CV curves of the AC/NiO capacitor at different sweep rates

在高扫描速度下极化作用对NiO电极的影响较大,NiO/NiOOH来不及发生完全的氧化还原反应,使得峰电位差增大。

### 2.2.3 循环寿命测试

图9为AC/AC和AC/NiO电容器在电流密度为100 mA·g<sup>-1</sup>下的循环曲线。由图可见,AC/NiO电容器在前80次的充放电过程中,比电容从54.7 F·g<sup>-1</sup>不断增大到最大值104.4 F·g<sup>-1</sup>,之后比电容缓慢衰减,200次后降到91.6 F·g<sup>-1</sup>,容量保持率为87.7%,显示出AC/NiO电容器良好的电化学稳定性。由于NiO与NiOOH之间的氧化还原反应不仅发生在电极表面,而且也发生在体相内部,随着循环次数的增加,OH<sup>-</sup>不断进入NiO电极内部,增大了电极材料的利用率,比电容达到最大值。之后由于无定形NiO的表面活性较高,在循环过程中容易发生团聚,粒径增大,电极材料的利用率逐渐降低,比电容缓慢衰减。

与AC/NiO电容器不同,AC/AC电容器在第1次即达到最大比电容47.9 F·g<sup>-1</sup>。由于AC表面所含官能团存在不可逆电化学反应,所以前4次充放电

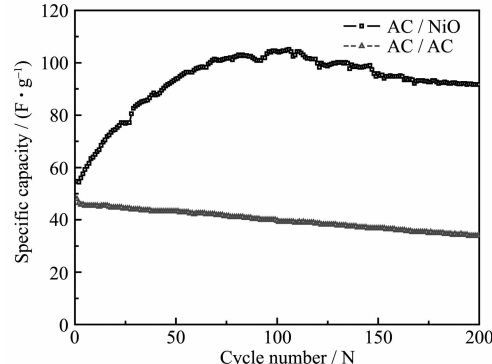


图9 AC/AC和AC/NiO电容器的循环曲线

Fig.9 Cycle plots of the AC/AC and AC/NiO capacitor

过程中比电容下降很快。之后比电容缓慢衰减，在 200 次以后比电容仅为  $33.8 \text{ F} \cdot \text{g}^{-1}$ ，比电容远低于 AC/NiO 电容器，说明无定形 NiO 替换正极 AC，可以从整体上提高电容器的电容性能。

#### 2.2.4 电化学阻抗测试

图 10 为 AC/NiO 电容器中 NiO 电极循环前后的电化学阻抗谱图。由图可见，NiO 电极的电化学阻抗图由高频区的半圆和低频区的斜线两部分组成。其中，高频区半圆与实轴的交点表示接触电阻；高频区的半圆由电极/电解质界面的电荷转移电阻和容抗产生；低频区的斜线表示与电化学电容有关的充电机理。如果低频区的斜线与实轴成  $45^\circ$ ，则表示电极固相中  $\text{H}^+$  扩散的 Warburg 阻抗；如果成  $90^\circ$  则表示纯电容。对于实际的电容器，其低频区斜线的斜率一般介于两者之间<sup>[21]</sup>。

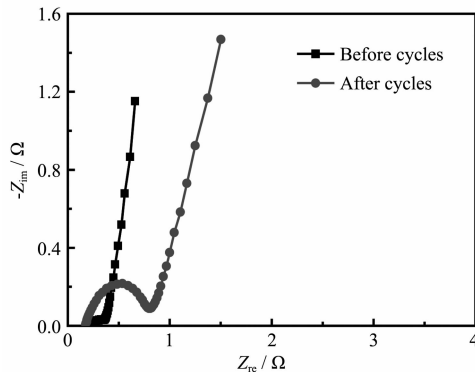


图 10 NiO 电极循环前后的电化学阻抗谱图

Fig.10 EIS of the NiO electrode before and after cycles

如图 10 所示，NiO 电极在高频区的半圆直径较小，且低频区的斜线基本与实轴垂直，说明 NiO 电极具有较低的电化学转移电阻和良好的电化学电容行为。在 200 次循环之后，NiO 电极的接触电阻基本不变，说明充放电前后活性物质与集流体的接触良好，并没有因充放电导致活性物质脱离。但是，电荷转移电阻由  $0.13 \Omega$  增大至  $0.64 \Omega$ ，且低频区斜线斜率减小，说明 NiO 的电化学活性降低， $\text{H}^+$  在电极中的扩散电阻增大，反应速率降低。

### 3 结 论

采用微乳法制备的  $\text{Ni(OH)}_2$  前驱体为无定形结构，经  $300^\circ\text{C}$  煅烧后得到的 NiO 的形貌基本不变。煅烧温度低于  $600^\circ\text{C}$  时晶体生长的活化能为  $10.72 \text{ kJ} \cdot \text{mol}^{-1}$ 。恒流充放电、循环伏安结果表明，在  $100 \text{ mA} \cdot \text{g}^{-1}$  电流密度下，AC/NiO 电容器的比电容、比功率和比能量分别为  $104.4 \text{ F} \cdot \text{g}^{-1}$ 、 $75 \text{ W} \cdot \text{kg}^{-1}$  和  $65.3$

$\text{Wh} \cdot \text{kg}^{-1}$ ，200 次循环后比电容保持率为 87.7%。当电流密度为  $1000 \text{ mA} \cdot \text{g}^{-1}$  时比电容仍为  $51.1 \text{ F} \cdot \text{g}^{-1}$ ，电容性能明显优于 AC/AC 电容器。在  $0\sim1.5 \text{ V}$  电压范围内具有良好的电容特性。此外，电化学阻抗结果表明，NiO 电极具有较低的电荷转移电阻和良好的电化学电容行为。

### 参考文献：

- [1] Kotz R, Carlen M. *Electrochim. Acta*, **2000**, *45*:2483~2498
- [2] Zheng J P, Jow T R. *J. Electrochem. Soc.*, **1995**, *142*:L6~L8
- [3] Bao S J, Li C M, Guo C X, et al. *J. Power Sources*, **2008**, *180*:676~681
- [4] Lee B J, Sivakkumar S R, Ko J M, et al. *J. Power Sources*, **2007**, *168*:546~552
- [5] Xing W, Li F, Yan Z F, et al. *J. Power Sources*, **2004**, *134*:324~330
- [6] Xue Y, Chen Y, Zhang M L, et al. *Mater. Lett.*, **2008**, *62*:3884~3886
- [7] Xu C J, Li B H, Du H D, et al. *J. Power Sources*, **2008**, *180*:664~670
- [8] WANG Xing-Lei(王兴磊), HE Kuan-Xin(何宽新), ZHANG Xiao-Gang(张校刚), et al. *Chinese J. Inorg. Chem. (Wuji Huaxue Xuebao)*, **2007**, *23*(9):1533~1537.
- [9] Liu X M, Zhang X G, Fu S Y. *Mater. Res. Bull.*, **2006**, *41*:620~627
- [10] Wu M S, Hsieh H H. *Electrochim. Acta*, **2008**, *53*:3427~3435
- [11] Nohara S, Asahina T, Wada H, et al. *J. Power Sources*, **2006**, *157*:605~609
- [12] Khomenko V, Raymundo-Pinero E, Beguin F. *J. Power Sources*, **2006**, *153*:183~190
- [13] Yuan C Z, Zhang X G, Wu Q F, et al. *Solid State Ionics*, **2006**, *177*:1237~1242
- [14] Wang Y G, Xia Y Y. *Electrochim. Acta*, **2006**, *51*:3223~3227
- [15] Zheng Y Z, Zhang M L. *Mater. Lett.*, **2007**, *61*:3967~3969
- [16] HAN Dong-Yun(韩冬云), YANG Huai-Yu(杨怀玉), WANG Fu-Hui(王福会). *Inorg. Chem. Ind. (Wujian Gongye)*, **2006**, *38*(12):32~33
- [17] Yang H M, Hu Y H, Tang A D, et al. *J. Alloys Compd.*, **2004**, *363*:271~274
- [18] Lai T L, Shu Y Y, Huang G L, et al. *J. Alloys Compd.*, **2008**, *450*:318~322
- [19] Xu C J, Li B H, Du H D, et al. *J. Power Sources*, **2008**, *184*:691~694
- [20] Jayashree R S, Kamath P V, Subbanna G N. *J. Electrochem. Soc.*, **2000**, *147*(6):2029~2032
- [21] CHEN Jie(陈洁), HUANG Ke-Long(黄可龙), LIU Su-Qin(刘素琴). *Chinese J. Inorg. Chem. (Wuji Huaxue Xuebao)*, **2008**, *24*(4):621~626